

建設省土木研究所 正員 大塙俊雄
同 上 " 金井道夫

1. まえがき

コンクリートを鋼管に充填したコンクリート充填鋼管は、鋼とコンクリートの合成作用、特に鋼管のフープ作用により、大きなねばりが期待でき、また鋼管の局部座屈がコンクリートにより防止されるために、きわめて経済的な設計が可能になると考えらる。特に、都市内のモノレールや高架構造の橋脚のように、種々の条件により断面寸法が制限され、かつ高い耐震性を要求される構造には、コンクリート充填鋼管は最適の構造である。しかししながら、コンクリートと鋼管の合成作用、鋼管の局部座屈の防止などについて、コンクリート充填鋼管の挙動が複雑であるために十分解明されていない。このため、コンクリート充填鋼管を利用しようという計画は多いものの、現実に工木構造物に用いられた例は少ないのが実状であり、設計基準の確立が急務である。ここでは、建設省土木研究所が行ったコンクリート充填鋼管の大型試験体による載荷実験の概要を報告する。まず、今回は、中心軸圧縮試験を行い、鋼管の局部座屈の防止と合成作用について検討を行なった。

2. 載荷実験

今回用いた試験体の形状・寸法を表-1に示す。

鋼管の板厚は3種類とし、コンクリート充填、非充填に分け計10体製作した。試験体Aは非充填鋼管を示したものであり、試験体Bはコンクリート充填鋼管を示したものである。

試験体Bの充填鋼管の内側には、鋼管とコンクリートの付着性能を良くするためにスタッフを等間隔に配置してある。しかしB-1だけはスタッフを設けていない。また、B-6は高強度コンクリートを用いている。

載荷は3000ton万能試験機を用いて行ない、中心軸方向圧縮試験を行なった。

測定はひずみおよび変形について行なった。ひずみの測定はストレインゲージを用い、軸方向および円周方向の2方向について計測した。変形は、軸方向(短縮量)、軸直角方向(面外変形)の2方向について計測した。

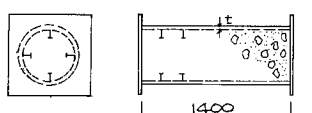
3. 実験結果と考察

実験結果および理論値との比較を表-2に示す。表中の S_c はコンクリートのシリンドー強度 σ_c より求めた値であり、 S_b は初期不整を考慮した座屈耐荷力理論式より求めた値、 S_y は鋼管の降伏応力により求めた値である。

表より、コンクリート充填鋼管は、鋼管の板厚

表-1 試験体一覧表

試験体	鋼管寸法(mm)	$A_s(cm^2)$	$A_c(cm^2)$	充填物	$\sigma_c(kg/cm^2)$	$\sigma_y(kg/cm^2)$
A-1	Φ700×6	130.8	—	—	—	4600
B-1	"	3717.6	有	245	"	
A-2	Φ700×8	173.9	—	—	—	4720
A-3	"	"	—	—	—	"
B-2	"	3674.5	有	245	"	
B-3	"	"	"	"	"	"
B-5	"	"	"	"	"	"
B-6	"	"	"	"	410	"
A-4	Φ700×12	259.3	—	—	—	4000
B-4	"	3589.1	有	245	"	



As: 鋼管断面積
Ac: コンクリート断面積
 σ_c : コンクリート強度(シリンドー)
 σ_y : 鋼管の降伏応力
*): スタッフ無試験体

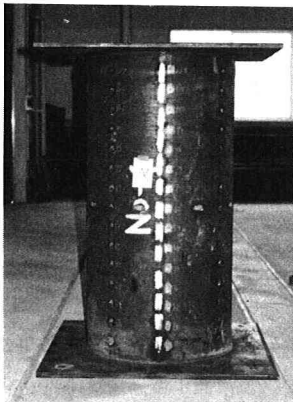
表-2 実験値と理論値

試験体	① 実験値	計 算 値		⑤	⑥	$\frac{①}{⑤}$	$\frac{①}{⑥}$
		② S_c	③ S_b				
A-1	540	—	567.0	601.7	567.0	601.7	0.95
B-1	1509	910.7	"	"	1477.7	1512.4	1.02
A-2	753	—	786.0	820.8	786.0	820.8	0.96
A-3	760	—	"	"	"	"	0.97
B-2	1730	900.1	"	1686.0	1720.9	1.03	1.01
B-3	1722	"	"	"	"	1.02	1.00
B-5	1694	"	"	"	"	1.00	0.98
B-6	2663	1594.5	"	2380.5	2415.3	1.12	1.10
A-4	1087	—	1010.0	1037.2	1010.0	1037.2	1.07
B-4	2230 ^{*)}	879.3	"	1889.3	1916.5	1.18	1.16

*): 耐力はまだ増加する傾向にあるが P=2230tneで実験を終了した。

コンクリート強度、スタッットの有無にかかわらず、鋼管の降伏応力 σ_y とコンクリート強度 c_c の累加強度を十分期待できるものと思われる。

図-1～図-4は、各試験体別に荷重-短縮量曲線を示したものである。また、写真-1は載荷試験後のB-1(鋼管の板厚6mm)の形状を写したものである。図中の



写 - 1

S_e とは鋼管の弾性曲線を、 $S_e + S_c$ とは鋼管とコンクリートの変位曲線を単に加え合せた曲線である。

図-1～図-3は、鋼管の板厚 $t = 6, 8, 12\text{ mm}$ における充填鋼管と非充填鋼管の比較を行なったものである。こちをみると、コンクリートを充填することにより、鋼管の強度として降伏応力をまで期待できるほか、剛性の増大、塑性域でのねばりが期待できることがわかる。また、写真-1にみられるように、鋼管の板厚が6mmと薄板でも局部座屈はほぼ完全に防止される。

次に図-4であるが、こちはスタッットの有無による比較を行なったものである。図中のB-3はスタッット有、B-5はスタッット無を示している。両者を比べてみると、耐力、ねばりはスタッットを打つことにより若干向上するが、最大荷重程度まででは、スタッットを打つことによる効果はあまりみられない。逆にスタッットを打つことにより、鋼管に残留応力が生じ、若干の初期剛度の低下がみられる。以上のこどより、通常はスタッットを打たなくてても十分コンクリート充填鋼管の特性は期待できる。

今回は、繰り返し載荷も数回行なってみたが(図-4参照)、数回の繰り返しによる耐力の低下はみられないがった。

4. あとがき

今回は、コンクリート充填鋼管構造の、特に短柱における局部座屈挙動について考えてきたが、耐力、剛性、ねばりの面で非常に有効であることがわかった。

今後、長柱の軸方向圧縮および曲げを受ける構造について検討していく予定である。

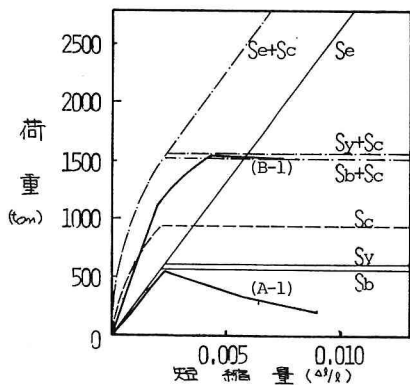


図-1 荷重-短縮量曲線($t=6$)

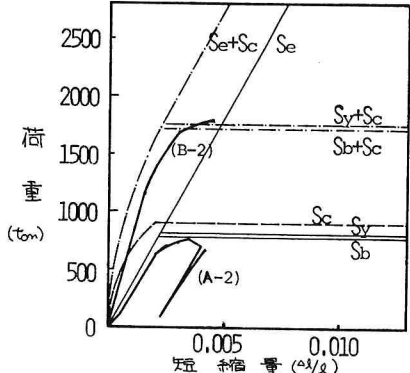


図-2 荷重-短縮量曲線($t=8$)

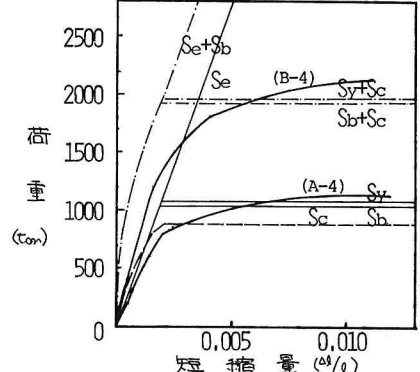


図-3 荷重-短縮量曲線($t=12$)

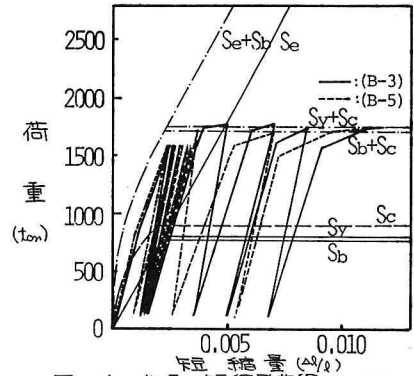


図-4 荷重-短縮量曲線($t=6$)